

9. Биченков Е. И., Войтенко А. Е. Автомодельный электрический склоновый взрыв проводника // ПМТФ.— 1969.— № 3.

г. Москва

Поступила 20/XII 1990 г.,  
в окончательном варианте — 5/VI 1991 г.

УДК 532.529

A. B. Федоров, H. H. Федорова

## СТРУКТУРА, РАСПРОСТРАНЕНИЕ И ОТРАЖЕНИЕ УДАРНЫХ ВОЛН В СМЕСИ ТВЕРДЫХ ТЕЛ (ГИДРОДИНАМИЧЕСКОЕ ПРИБЛИЖЕНИЕ)

Вопросы математического моделирования поведения смесей различных материалов при высоких давлениях возникают при расчете действия на гетерогенные материалы, пористые среды и т. д. продуктов взрыва высокoenергетических ВВ.

Для описания такого рода явлений в гидродинамическом приближении механики гетерогенных сред в [1, 2] предложены соответствующие математические модели в двухдавленческом приближении. В случае неравенства давлений фаз необходимо некоторое замыкающее соотношение, каким может служить условие пропорциональности давлений  $p_1 = kp_2$ ,  $k = \text{const}$  (в том числе и  $k = 1$ ). Отличный от упомянутого способ замыкания модели по давлениям предложен в [3]. Он основан на постулировании уравнения  $m_2$ -переноса для объемной концентрации второй фазы с источниковым членом. В [4] приводится выражение источникового члена в уравнении  $m_2$ -переноса, дается замыкание модели для двух твердых тел.

Согласно предложенной математической модели, для однодавленческой смеси в [1] приводится расчет структуры замороженной ударной волны (УВ) в насыщенной пористой среде (вода и песок). Вопросы существования и единственности решения подробно не обсуждаются. В [5] дан обзор работ по структурам УВ в смесях двух твердых материалов в двухскоростном однодавленческом баротропном приближении. В [6] на основе качественных рассуждений для такого течения показано существование четырех типов УВ. В [7] изучены вопросы существования и единственности решений типа бегущих волн для смеси газов Клапейрона в двухскоростном двухтемпературном приближении, в [8] аналогичные вопросы рассмотрены в односкоростном двухдавленческом баротропном течении газожидкостной смеси.

Представляется интересным исследование структуры УВ в смеси двух твердых тел в гидродинамическом приближении с учетом разницы в скоростях и давлениях фаз, а также образования УВ различных типов из начальных данных ступенчатого вида и отражения УВ от жесткой стенки.

**1. Стационарное течение.** Уравнения [9], описывающие течения типа бегущей волны в сопутствующей системе координат, имеют вид

$$(1.1) \quad \begin{aligned} \rho_i u_i &= c_i, \quad i = 1, 2, \quad p + c_1 u_1 + c_2 u_2 = c_3, \\ p_i &= a_i^2 (\rho_i / m_i - \rho_{ii,0}), \quad i = 1, 2, \quad p = m_1 p_1 + m_2 p_2, \\ c_2 u_2 + m_2 p_2 + (p_2 - p_1) \dot{m}_2 &= -R, \\ R &= -\frac{\rho_2 c_D}{\tau_{ct}} \frac{\text{Re}}{24} m_1 (u_1 - u_2), \quad \dot{m}_2 = -\kappa = -\frac{(p_1 - p_2)}{\mu_2 u_2}. \end{aligned}$$

Здесь  $\rho_i = m_i \rho_{ii}$  — средняя плотность;  $m_i$ ,  $\rho_{ii}$  — объемная концентрация и истинная плотность;  $p_i$  — парциальные давления;  $u_i$  — скорости фаз; нулем отмечено начальное состояние;  $c_i$  — значения соответствую-

ших расходов в начальной точке;  $R$  — сила межфазного взаимодействия;  $c_D$  — коэффициент сопротивления;  $Re$  — число Рейнольдса;  $\tau_{ct}$  — время стоксовой релаксации скоростей. Система (1.1) должна удовлетворять краевым условиям стационарности на  $\pm\infty$  для вектора решения  $\Phi = \Phi(\rho_1, \rho_2, u_1, u_2, m_2)$ :

$$(1.2) \quad \Phi \rightarrow \Phi_{0,k}, \dot{\Phi} \rightarrow 0 \text{ при } x \rightarrow \pm\infty.$$

Тогда задача о распространении стационарной УВ в смеси двух твердых материалов сводится к решению краевой задачи (1.1), (1.2) в области  $(-\infty, +\infty)$ .

В смеси протекают два релаксационных процесса: выравнивание скоростей компонент с характерным масштабом по времени  $\tau_{ct}$  и изменение объемной концентрации частиц металла, вызванное различием давлений фаз с масштабом  $\tau_{m2} = 2r\rho_{22,0}a_2/(\rho_{11,0}a_1^2)$  ( $r$  — радиус частицы, для вязкости второй фазы принята оценка  $\mu_2 = 2\rho_{22}a_2r$ ). Можно определить также характерное время распространения возмущений в смеси  $\tau_r = x_0/a_2$  ( $x_0$  — характерная длина).

Течение смеси, в котором  $\tau_{ct}/\tau_r \ll 1$ ,  $\tau_{m2}/\tau_r \ll 1$ , будем называть полностью равновесным или равновесным,  $\tau_{ct}/\tau_r \ll 1$ ,  $\tau_{m2}/\tau_r \sim 1$  — равновесно-замороженным,  $\tau_{ct}/\tau_r \sim 1$ ,  $\tau_{m2}/\tau_r \ll 1$  — замороженно-равновесным,  $\tau_{ct}/\tau_r \gg 1$ ,  $\tau_{m2}/\tau_r \gg 1$  — замороженным.

Первый тип движения характерен равенством скоростей и давлений фаз, второй — равенством скоростей, но различными давлениями [9], третий — различными скоростями и равными давлениями фаз, четвертый — различными скоростями и давлениями. Определим далее полностью равновесную скорость звука  $c_e^2 = dp/d\rho$ , где  $p = p_1(\rho_1, m_2^e(\rho)) \equiv p_2(\rho_2, m_2^e(\rho))$ ,  $\rho_1 = (1 - \alpha)\rho$ ,  $\rho_2 = \alpha\rho$ ,  $\alpha = \rho_{20}/\rho_0$ .

Нетрудно получить, что

$$c_e^2 = c_{ef}^2 + (S_1 + p_2 - p_1) dm_2^e/d\rho.$$

Здесь  $dm_2^e/d\rho = R_1/P_1$ ;  $S_1 = m_2 \partial p_2 / \partial m_2 - m_1 \partial p_1 / \partial m_1$ ;  $\xi_i = \rho_i/\rho$  ( $i = 1, 2$ );  $R_1 = \xi_1 \partial p_1 / \partial \rho_1 - \xi_2 \partial p_2 / \partial \rho_2$ ;  $P_1 = \partial p_2 / \partial m_2 + \partial p_1 / \partial m_1$ . Функция  $m_2^e(\rho)$  находится из условия равенства давлений. Для второго типа течения в смеси определена равновесно-замороженная скорость звука  $c_{ef}$ :

$$c_{ef}^2 = \left. \frac{\partial p}{\partial \rho} \right|_{\substack{u_1 = u_2 \\ p_1 \neq p_2}} = \xi_1 a_1 + \xi_2 a_2,$$

а для третьего — замороженно-равновесиая:

$$c_{fe}^2 = \left. \frac{\partial p}{\partial \rho} \right|_{\substack{u_1 \neq u_2 \\ p_1 = p_2}} = (m_2 \partial p_2 / \partial \rho_2 \partial p_1 / \partial m_1 + m_1 \partial p_1 / \partial \rho_1 \partial p_2 / \partial m_2) / P_1.$$

Отметим, что имеются две замороженные скорости звука:  $a_1$  и  $a_2$ , максимальную из них  $a_2$  будем называть полностью замороженной (или замороженной) скоростью звука.

В равновесном течении смеси ( $p_1(\rho) = p_2(\rho)$ ) можно найти зависимость объемной концентрации фаз от средней плотности

$$P(\rho, m_1) = c u m_1^2 - m_1 (c u + c_1 c_{ef}^2) + \xi_1 c_1 = 0$$

( $u = c_1/\rho$ ,  $c = 1 - a\rho_{22,0}/\rho_{11,0}$ ,  $a = (a_2/a_1)^2$ ). Показано, что дискриминант этого уравнения положителен, поэтому обе ветви решения действительны. Физический смысл имеет ветвь  $m_1 = m_1^e(\rho)$ , соответствующая в выражении для корней квадратного уравнения знаку минус, так как она проходит через начальную точку ( $m_{10}, \rho_0$ ).

Уравнение состояния здесь

$$P = \xi_1 \rho / m_1^e(\rho) - 1.$$

Множество состояний за фронтом УВ может быть найдено по начальному с помощью равновесной адиабаты Гюгонио. Оказалось, что при этом существуют два конечных состояния:  $u_{\kappa}^+$ ,  $u_{\kappa}^-$ , определяемых как решения квадратного уравнения

$$u_{\kappa}^2 + bu_{\kappa} + \tilde{c} = 0,$$

где  $\tilde{c} = ((1+y)c_{ef} - \xi_1 c)/(c_1 M_{10})$ ;  $b = -(2+y-c)/c_1$ ;  $y = p_0 M_{10}^2$ . Действительно, дискриминант данного уравнения может быть представлен как квадратичный полином от  $y$ , положительный для всех физических начальных данных. При этом для чисел Маха решений, найденных по равновесной скорости звука  $c_e$ ,

$$M_{e,\kappa} = u_{\kappa}/c_{e,\kappa}, \quad c_e^2 = \xi_1 (cm_1^e - \xi_1 p)/(m_1^e(c(m_1^e)^2 - \xi_1 p)),$$

имеют место оценки  $M_{e,\kappa}^+ > 1$ ,  $M_{e,\kappa}^- < 1$ .

Для определения условий за замороженной УВ при  $m_1 = m_{10}$  служит адиабата Гюгонио замороженного течения, которую запишем как

$$(1.3) \quad F(u_1, u_2) = \frac{(u_2 - u_0)(u_2 - \tilde{u}_2)}{u_2} - \frac{\xi_1 (u_1 - u_0)(u_1 - \tilde{u}_1)}{\xi_2 u_1} = 0$$

( $\tilde{u}_1 = 1/u_0$ ,  $\tilde{u}_2 = a/u_0$ ). Отсюда видно, что равновесной точке  $(u_0, u_0)$  отвечают три состояния:  $(u_0, \tilde{u}_2)$ ,  $(\tilde{u}_1, u_0)$ ,  $(\tilde{u}_1, \tilde{u}_2)$ , т. е. условия за фронтом замороженной УВ также находятся неоднозначно.

Получим, наконец, условия за фронтом равновесно-замороженной УВ, т. е. когда  $u_1 = u_2$ ,  $m_1 = m_{10}$ ,  $p_1 \neq p_2$ . Здесь скорость за фронтом  $\tilde{u} = \xi_1 \tilde{u}_1 + \xi_2 \tilde{u}_2 = c_{ef}^2/u_0$ . Решение краевой задачи (1.1), (1.2) сводится к решению системы дифференциальных уравнений

$$(1.4) \quad \frac{du_1}{dx} = \frac{u_1}{p_1} \frac{R + \kappa m_1 \partial p_1 / \partial m_2}{u_1^2 - a_1^2} = A(u_1, u_2);$$

$$(1.5) \quad \frac{du_2}{dx} = \frac{u_2}{p_2} \frac{-R + \kappa (m_2 \partial p_2 / \partial m_2 + p_2 - p_1)}{u_2^2 - a_2^2} = B(u_1, u_2)$$

с соответствующими краевыми условиями.

В [9] показано, что при  $\tau_{ct}/\tau_r \ll 1$ ,  $\tau_{m2}/\tau_r \sim 1$  в смеси могут распространяться замороженные и дисперсные УВ, и найден критерий немонотонности давления во второй фазе. Изучим типы течений в смеси при  $\tau_{ct}/\tau_r \sim 1$ ,  $\tau_{m2}/\tau_r \gg 1$ . В этом случае можно показать разрешимость краевой задачи для уравнения (1.4), дополненного интегралом (1.3). Из уравнения (1.3) явным образом выразим  $u_2$  как функцию  $u_1$ . Область определения функции  $u_2(u_1)$  состоит из трех подобластей. В первой из них ( $0 < u_1 < u_1^3$ ) функция  $u_2(u_1)$  неоднозначна (при  $u_1 \rightarrow 0$  одна из ветвей стремится к нулю, вторая — к  $-\infty$ ), во второй ( $u_1^3 \leq u_1 \leq u_1^2$ ) она представляет собой замкнутую кривую, а в третьей ( $u_1 > u_1^4$ ) также неоднозначна (здесь величины  $u_i^i$  ( $i = 1, 4$ ) зависят от начальных параметров смеси). При  $u_1^3 < u_1 < u_1^1$ ,  $u_1^2 < u_1 < u_1^4$  функция  $u_2(u_1)$  не определена. Прямая  $u_2 = u_1$  пересекает описанную функцию  $u_2(u_1)$  в двух точках:  $(u_0, u_0)$ ,  $(u_{\kappa}, u_{\kappa})$ . Для нахождения  $u_{\kappa} = c_{ef}^2/u_0$  служит адиабата Гюгонио в равновесном по скоростям, неравновесном по давлениям течении при  $u_0 > c_{ef}$ . Результаты оценок значений скоростей в конечной точке для различных начальных данных  $u_0$ ,  $\xi_1$  приведены в таблице, в которой  $\tilde{\xi} = (u_0^2 - a)/(1 - a)$ ,

$$\tilde{\xi}_* = V_a(u_0 - V_a)/(1 - a), \quad \tilde{\xi}_{**} = (u_0 - a)/(1 - a).$$

Исследуем знак  $\lambda_1 = dA(u_1, u_2(u_1))/du_1$  в начальной и конечной точках течения ( $A(u_1, u_2)$  определено (1.4)). Используя представление

$$\frac{du_2}{du_1} = - \frac{c_1 (u_1^2 - 1) u_2^2}{c_2 (u_2^2 - 1) u_1^2}$$

и принимая для простоты  $c_D = 24/\text{Re}$ , при  $u_1 = u_2 = u$  получим

$$\lambda_1 = - \frac{\rho_2(u^2 - c_{ef}^2)u}{\rho_1(u^2 - 1)(u^2 - a)\tau_{ct}\xi_2}.$$

Пусть  $\Phi_0 = (u_0, \xi_1)$  — вектор начальных данных,  $\lambda_{10}, \lambda_{1K}$  — значения  $\lambda_1$  в начальной и конечной точках течения. Имеет место

**Утверждение 1.** Если  $\Phi_0 \in I_1$ , то  $\lambda_{10} < 0, \lambda_{1K} < 0$ , если  $\Phi_0 \in I_2$ , то  $\lambda_{10} < 0, \lambda_{1K} > 0$ , если  $\Phi_0 \in II_1, III_1, IV$ , то  $\lambda_{10} < 0, \lambda_{1K} < 0$ , если  $\Phi_0 \in II_2, III_2$ , то  $\lambda_{10} > 0, \lambda_{1K} > 0$ .

На основе этого утверждения опишем типы течений в указанных областях. Качественную картину течения можно представить с помощью рис. 1. Точки  $O(u_0, u_0), B_1(u_0, \tilde{u}_2), C_1(\tilde{u}_1, \tilde{u}_2), A_1(\tilde{u}_1, u_0)$  на замкнутой кривой (1.3) отвечают условиям на замороженных волнах сжатия и разрежения. Прямая  $u_2 = u_1$  проходит через точки  $O(u_0, u_0), K(u_K, u_K)$ . Переходя из точки  $O$  к точкам  $A_1, C_1, B_1$  разрывом, течение в дальнейшем релаксирует к точкам  $D_1, D_2$ , в которых скорость второй фазы достигает скорости звука. После этого происходит запирание потока. Здесь, следуя [10], можно ввести  $L$  — максимальную длину образца гетерогенной среды, в которой происходит течение смеси. При длине образца  $l < L$  в конечной точке реализуется дозвуковое истечение, при  $l = L$  — звуковое во второй фазе, при  $l > L$  течение нереально. Используя условия устойчивости Лакса, можно показать, что течения  $C_1 \rightarrow D_1, B_1 \rightarrow D_2$  неустойчивы (УВ разрежения в обеих фазах и во второй фазе соответственно). При  $A_1 \rightarrow D_1$  УВ устойчива в первой фазе и оканчивается на конечном расстоянии  $L$  от фронта волны. В этой точке происходит обострение величины  $du_2/dx$ . Такое течение можно интерпретировать, следуя С. А. Христиановичу, как волну дробления.

Аналогично рассматривается течение в области  $I_2$ . Здесь конечная точка сместилась выше линии  $u_2 = \sqrt{a}$ . Устойчивым будет течение, начинающееся в точке  $A(\tilde{u}_1, u_0)$  и оканчивающееся в точке  $D_1(u_1^1, \sqrt{a})$  в режиме с обострением  $du_2/dx$ .

При течении в области  $II_1$  функция  $u_1(x)$  принимает при  $x \rightarrow \mp\infty$  значения  $u_0, u_K$  с точкой разворота при  $u_1 = 1$ . При этом  $u_2$  меняется непрерывно и однозначно от  $u_0$  до  $u_K$ . Для ликвидации неоднозначности в скорости первой компоненты в точке, в которой достигается равенство  $u_2 = u_K$ , вводится разрыв в первой фазе. За ним скорости фаз выравни-

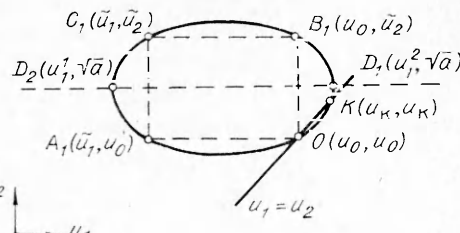


Рис. 1

$\xi_1$	$u_0$			
	$1 < u_0 < c_{ef}$	$c_{ef} < u_0 < \sqrt{a}$	$\sqrt{a} < u_0 < a$	$u_0 > a$
$\xi_1 > \xi_{**}$	Нет решений	$II_1$ $u_K < 1$	$III_1$ $u_K < 1$	
$\xi < \xi_1 < \xi_{**}$	»     »	$II_2$ $c_{ef} > u_K > 1$		IV $u_K < 1$
$\xi_* < \xi_1 < \xi$	$I_1$ $c_{ef} < u_K < \sqrt{a}$	Нет решений		$III_2$
$0 < \xi_1 < \xi_*$	$I_2$ $u_K < \sqrt{a}$	»     »		$1 < u_K < c_{ef}$

ваются:  $u_1 = u_2 = u_k$ . Отметим, что равновесие достигается на конечном расстоянии с помощью хвостового скачка.

Решение в области  $\Pi_2$  с  $\lambda_0 > 0$ ,  $\lambda_k < 0$ , будучи непрерывным, асимптотически принимающим начальное и конечное значения на  $\mp\infty$ , представляет собой дисперсную УВ. Пусть  $u_0 = \alpha c_{ef} + (1 - \alpha)\sqrt{a}$ ,  $\alpha \in (0, 1)$ , где  $c_{ef} = (\alpha + \sqrt{\alpha^2 + 4(1 - \alpha)\sqrt{a}})/2$ ,  $\xi_1 = (c_{ef} - a)/(1 - a)$ ,  $M_1 = \xi_1 \rho_{22}/(\xi_2 + \xi_1 \rho_{22})$ , тогда  $u_k = 1$ . В этом случае в решении достигается неустойчивая точка промежуточного равновесия  $u_1 = u_2 = u_k = 1$  ( $du_1/dx(u_k) \neq 0$ ,  $du_1/dx(u_k) \neq \infty$ ,  $du_2/dx(u_k) = 0$ ). При переходе через эту точку скорость второй фазы возрастает до  $\sqrt{a}$ , скорость первой убывает до  $u_1^1$ . Данный режим имеет точки перехода через обе скорости звука фаз с обострением  $du/dx$  и существует на конечном интервале. Он является граничным между дисперсной УВ с хвостовым скачком и полностью дисперсной УВ.

Аналогично показывается, что в области  $\text{III}_1$ ,  $\text{IV}$  есть течение с двухволновой конфигурацией. В голове замороженной УВ имеется скачок во второй фазе  $(u_0, u_0) \rightarrow (u_0, \tilde{u}_2)$ , затем идет зона релаксации скоростей до тех пор, пока  $u_1$  не сравняется с  $u_k$ . В этой же точке происходит ударно-волновой переход в конечную точку в первой фазе. Течение в области

$\text{III}_2$  представляет собой замороженную УВ в первой фазе в головной части, дополненную зоной релаксации скоростей в обеих фазах. Режимы  $\text{III}_1$ ,  $\text{III}_2$  разделяются течением с  $m_1 = m_{10}$ , при котором решение есть замороженная УВ в первой фазе, дополненная областью непрерывного течения, в котором осуществляется переход через обе скорости звука. Существует это течение в режиме с обострением  $du_2/dx$  на конечной длине  $L$  среды.

На основании изложенного сформулируем

**Утверждение 2.** Решение задачи (1.1), (1.2) существует в классе: 1) замороженных УВ, дополненных зоной релаксации с обострением  $du_2/dx$  в конечной области зоны течения при  $(u_0, \xi_1) \in \text{I}_1, \text{I}_2$ ; 2) дисперсных УВ с хвостовым разрывом в первой фазе при  $(u_0, \xi_1) \in \Pi_1$ , полностью дисперсных УВ при  $(u_0, \xi_1) \in \Pi_2$ ; 3) замороженных УВ во второй фазе (головной скачок), граничащих через зону релаксации с хвостовым скачком в первой фазе, при  $(u_0, \xi_1) \in \text{III}_1, \text{IV}$ , полностью замороженных УВ при  $(u_0, \xi_1) \in \text{III}_2$ .

Для  $\xi_1 = \xi_{**}$  в областях  $\Pi_1$ ,  $\Pi_2$  течение существует в виде дисперсной волны с двумя звуковыми точками и обострением  $du_2/dx$  на полуограниченном интервале. Если  $\xi_1 = \xi_{**}$  в области  $\text{III}_1$ , реализуемое течение имеет вид замороженной УВ с двумя звуковыми точками на полуограниченном интервале с обострением  $du_2/dx$ . Полное изложение доказательства существования режимов течения смеси дано в [15].

**2. Нестационарное течение.** Уравнения, описывающие течение смеси в нестационарном одномерном случае, имеют вид

$$(2.1) \quad \begin{aligned} \partial \rho_i / \partial t + \partial \rho_i u_i / \partial x &= 0, \quad i = 1, 2, \\ \rho_1 (\partial u_1 / \partial t + u_1 \partial u_1 / \partial x) + m_1 \partial p_1 / \partial x &= -\rho_1 (u_1 - u_2) c_D \text{Re} / 24 / \tau_{\text{ct}} = R, \\ \rho_2 (\partial u_2 / \partial t + u_2 \partial u_2 / \partial x) + m_2 \partial p_2 / \partial x &= -R + (p_2 - p_1) \partial m_1 / \partial x, \\ \partial m_2 / \partial t + u_2 \partial m_2 / \partial x &= -(p_1 - p_2) / \mu_2, \quad p_i = a_i^2 (\rho_i / m_i - \rho_{ii,0}), \quad i = 1, 2. \end{aligned}$$

В качестве начальных данных примем распределение параметров в виде одного из трех возможных типов стационарных УВ. Решение задачи проведем методом крупных частиц, изучая при этом следующие проблемы.

**Задача 1.** Распространение дисперсной и замороженной УВ в пространстве. Пусть  $u_{10} = u_{20} = 0$ ,  $D = -3,2$ ,  $m_1 = 0,5$  (величины обозначены согласно [9]). В этом случае при  $t = 0$  течение является полностью дисперсной УВ. Поскольку на правой границе области течения поддерживается постоянное равновесное значение параметров (для

скоростей это есть значение  $u_i = u_k$ ,  $i=1, 2$ ), то влево распространяется стационарная дисперсная УВ. Изучался процесс образования дисперсной УВ из начальных данных типа ступеньки. При этом параметры течения слева и справа от точки разрыва удовлетворяли равновесной адиабате Гюгонио. Как видно из приведенных на рис. 2 профилей плотности второй фазы, имеющейся на момент времени  $t = 0$  (кривая 4) разрыв при  $t = 0,5$  (кривая 3) сглаживается и при  $t = 1; 1,5$  (кривые 2, 1 соответственно) распространяется дисперсная УВ.

Аналогично рассматривались варианты течения с  $u_{10} = 0$ ,  $u_{20} = 0$ ,  $D = -3,5$ ,  $m_1 = 0,75$ . При  $t = 0$  реализуется замороженная УВ с одноволновой структурой, течение непрерывно в первой фазе с разрывом во второй. Передний скачок немного размазывается из-за влияния аппроксимационной вязкости, и волна устойчиво распространяется со скоростью, близкой к  $D = -3,5$ .

Пусть  $u_{10} = 0$ ,  $u_{20} = 0$ ,  $D = -6,5813$ ,  $m_1 = 0,75$ . Параметры первой фазы непрерывны в голове волны и имеют скачок в хвосте при  $t = 0$ , в то время как во второй фазе УВ расположена в голове течения. И в данном случае наблюдается устойчивое стационарное распространение изучаемой волновой конфигурации. Отметим, что течение во второй фазе с передним разрывом формируется быстрее, чем в первой.

Представляет интерес поведение смеси, в которой в начальный момент времени реализуется течение типа УВ разрежения. Для нее характерно наличие неустойчивого разрыва во второй фазе, дополненного зоной релаксации скоростей до конечного равновесного состояния. Течение в первой фазе непрерывно. Реализуется этот тип течения при  $u_{10} = 0$ ,  $u_{20} = 0$ ,  $D = -1,5$ . Поскольку относительная скорость звука в конечном равновесном состоянии  $u_k - D$  больше скорости звука во второй фазе, то зона релаксации непрерывно примыкает к конечному состоянию. Картина возникающего течения для давления в первой фазе приведена на рис. 3. Неустойчивая конфигурация течения при  $t = 0$  (кривая 4) распадается на две волны разрежения (ВР), распространяющиеся вправо и влево (кривые 1—3 соответствуют  $t = 1,2; 0,8; 0,4$ ). Распространяющаяся вправо ВР снимает давление в компонентах, и за ней формируется зона постоянного течения смеси. Данная конфигурация обусловлена тем, что в точке  $x = 5$  сосредоточен разрыв давления. При распаде начинается разгрузка, которая снимает давление  $p_0 = 0$  и приводит в движение среду вправо от разрыва. Однако ее скорость велика, и приведенные в движение точки смеси (лежащие слева от точки  $x = 5$ ) не подпитываются по давлению правую половину, так как скорость «убегания» частиц здесь достаточно велика. В данном случае ситуация аналогична описанной в [11] конфигурации B задачи о распаде разрыва, если в последней сделать замену переменных  $u = -u_{10} + u$ ,  $x = x - u_1 t$  ( $u_1 < 0$  — скорость газа слева от разрыва). Расчеты, проведенные на

большие времена, с отодвигнутыми границами расчетной области показали, что при  $t \rightarrow \infty$  в смеси формируется равновесное по скоростям течение ( $u_1 = u_2 = -2,8$ ), при этом давления компонент не равны и близки к значениям давлений в точке пересечения профилей при различных моментах времени.

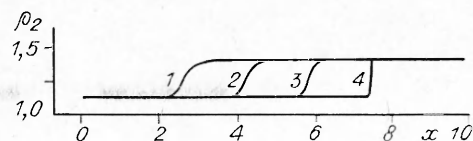


Рис. 2

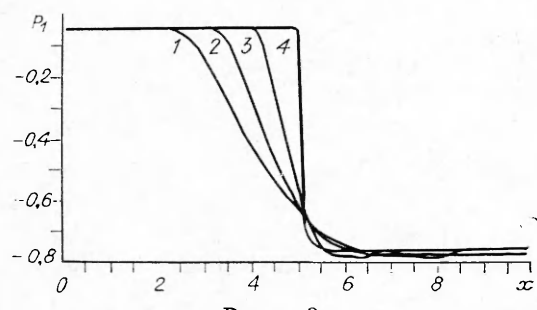


Рис. 3

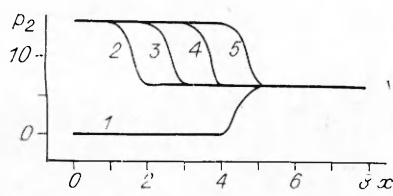


Рис. 4

**Задача 2. Отражение УВ в смеси от жесткой стенки.** Эта проблема привлекает внимание исследователей (библиографию можно найти в [12, 13]). Отметим работу [14], где для падающих замороженных и дисперсных волн в смеси газа и твердых частиц выписаны условия, определяющие тип отражения. Данна проверка этих условий на основе расчета

в рамках модели смеси без учета объемной доли частиц (модель Клигеля — Никерсона). Расчеты подтвердили сформулированные три типа отражения УВ.

Остановимся на проблеме отражения УВ от жесткой стенки в случае смеси двух сжимаемых газов. Предположим, что справа налево по покоящейся смеси распространяется УВ сжатия с постоянной амплитудой. Течение перед УВ при  $t = 0$  находится в равновесии с параметрами  $p_i = p_0 = 0$ ,  $u_i = 0$ ,  $\rho_i = \rho_{i0}$ ,  $i = 1, 2$ . Параметры течения за падающей УВ отметим индексом  $k$ , индексом  $R$  — за отраженной УВ ( $D_k$ ,  $D_R$  — скорости падающей и отраженной УВ). За фронтом падающей УВ параметры смеси принимают равновесные по скоростям значения  $u_i = u_k$ ,  $p_i = p_{ik}$ ,  $i = 1, 2$ . Законы сохранения в этом случае имеют вид

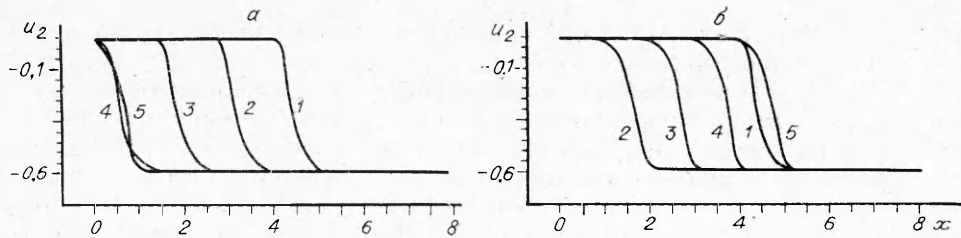
$$-\rho_0 D_k = \rho_k (u_k - D_k), \quad \rho_0 D_k^2 = p_k + \rho_k (u_k - D_k)^2, \quad -\rho_R D_R = \\ = \rho_k (u_k - D_R), \quad p_R + \rho_R D_R^2 = p_k - \rho_R D_R (u_k - D_R),$$

где  $p_k = m_1 p_{1k} + m_2 p_{2k}$ ;  $\rho_0 = \rho_{10} + \rho_{20}$ ;  $\rho_k = \rho_{1k} + \rho_{2k}$ ;  $p_k = c_{ef}^2 (\rho_k - \rho_0)$ ;  $p_R = c_{ef}^2 (\rho_R - \rho_0)$ .

После несложных преобразований для определения  $D_R$  получим уравнение  $D_R^2 - D_R u_k - c_{ef}^2 = 0$ , имеющее решения  $D_{2+} = D = -u_0$ ,  $D_{2-} = -c_{ef}^2/D$ . Первое из них определяет скорость падающей УВ, второе — отраженной. Выпишем формулы для относительных скоростей смеси перед и за фронтом отраженной УВ соответственно:  $u'_k = u_k - -D_{2-} = D$ ,  $v'_k = -D_{2-} = c_{ef}^2/D$ . На основе этих выражений и утверждений, доказанных для падающей дисперсной УВ выше, показывается, что падающая дисперсная УВ отражается волной того же типа, т. е. при  $(u_0, \xi_1) \in \Pi_1$  — дисперсной УВ с хвостовым скачком в первой фазе, при  $(u_0, \xi_1) \in \Pi_2$  — полностью дисперсной УВ. Для  $(u_0, \xi_1) \in \Pi_1$  падающая УВ отразится волной аналогичного типа, падающая замороженная волна одноволновой структуры отразится замороженной волной той же структуры. Если  $(u_0, \xi_1) \in \Pi_2$ , то падающая и отраженная волны имеют двухволновую структуру.

Опишем некоторые численные эксперименты, проведенные для этой задачи. В качестве начальных условий выберем течение типа полностью дисперсной УВ, соответствующее  $u_{i0} = 0$ ,  $D_k = 3,2$ ,  $m_{10} = 0,5$ ,  $i = 1, 2$ . На момент  $t = 0$  голова УВ сосредоточена в  $x = 4$  (под головой дисперсной УВ понимается точка в пространстве, в которой параметры течения на  $\epsilon = 0,01$  отличаются от значений перед фронтом дисперсной УВ). На рис. 4 приведены профили давления во второй фазе при  $t = 0; 0,2; 0,24; 0,28; 0,32$  (кривые 1—5). Как видно, отраженная УВ также дисперсная. При этом следует отметить хорошую передачу параметров за фронтом отраженной УВ: аналитическое решение дает  $\rho_{2,R}/\rho_{2,0} = (D/c_{ef})^4 = 1,545$ , а численное 1,540.

Интересно поведение скоростей фаз. Так, при распространении дисперсной УВ слева в направлении жесткой стенки профиль скоростей фаз представляет собой кривую с резким изменением в передней части волны и более плавную в задней. На рис. 5, а показано поведение скорости  $u_2$  при  $t = 0; 0,4; 0,8; 1,2; 1,6$  (кривые 1—5), на рис. 5, б — при  $t = 0; 2; 2,4; 2,8; 3,2$  (кривые 1—5). Скорость волны при этом  $D_R = 3,2$ . Расстояние  $l = 4$  волна проходит за  $\Delta t = 1,25$  (кривая 1 на рис. 5, а). Видно, что



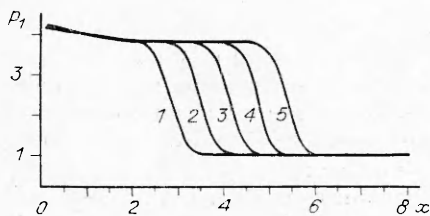
Р и с. 5

картина изменения скорости по толщине волны полностью обратима. В передней части по-прежнему резкое изменение скорости, в задней — более плавное; скорость отраженной дисперсной УВ (полученная аналитически)  $D_R = -c_{ef}^2/D = 2,57$  близка к расчетной  $\tilde{D}_R = 2,58$ .

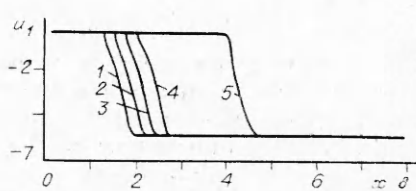
Отметим, что давление и плотность первой фазы вблизи от стенки слегка превышают значения, определяемые аналитически. Это связано, по-видимому, с тем обстоятельством, что здесь происходит взаимодействие падающей и отраженной волн. Поэтому смесь не достигает однородного состояния за конечное время.

Рассмотрим далее отражение от стенки замороженной УВ ( $m_1 = 0,75$ ,  $D = 3,5$ ,  $u_{i0} = 0$ ,  $i = 1,2$ ) в случае одноволновой конфигурации (головная УВ во второй фазе, непрерывное течение в первой). Результаты расчетов для давления первой фазы представлены на рис. 6 (кривые 1—5 соответствуют  $t = 3,2; 3,6; 4,0; 4,4; 4,8$ ). В этом случае при ударе первой фазы о твердую стенку в первые моменты времени после удара в ней развиваются давления, значительно большие, чем в состоянии за отраженной волной. По мере отхода волны от стенки давление на стенке уменьшается. Однако расчеты, проведенные до расстояния шесть калибров (калибр — отношение линейного размера к ширине замороженной УВ), показали, что значение  $p_1(0, t)$  еще не установилось. Давление во второй фазе, где имеется разрыв в голове волны, возрастает на стенке до своего значения за фронтом. При этом значение  $p_1(0, t)$  устанавливается значительно быстрее, чем во второй фазе. Уже на расстоянии 1,5 калибра давление в первой фазе близко к предельному. Естественно, что плотности фаз ведут себя аналогично. Как и в предыдущем случае, решение отразилось симметричным образом.

Рассмотрим отражение замороженной УВ с двухволной конфигурацией ( $u_{10} = u_{20} = 0$ ,  $p_{10} = p_{20} = 0$ ,  $m_1 = 0,75$ ,  $D_k = 6,5813$ ), когда в первой фазе в голове волны течение непрерывно, а в хвосте имеется разрыв и когда во второй фазе в голове разрыв с последующей зоной релаксации. Результаты расчетов для скорости первой фазы представлены на рис. 7 (начальные данные — линия 5, решение при  $t = 2,4; 2,7; 3; 3,3$  — линии 1—4). Видно, что после отражения от стенки замороженная УВ остается волной того же типа, движется она со скоростью  $D_R = -0,83$ . Хвостовой скачок в этой фазе воспроизводится при численных расчетах хуже, чем головной: за его фронтом возникают нефизические осцилляции небольшой амплитуды. Передний скачок во второй фазе передается весьма удовлетворительно. На расстоянии от стенки, примерно равном 5 калибрам, отраженная волна распространяется уже в стаци-



Р и с. 6



Р и с. 7

нарном режиме. Хорошо различим головной скачок с последующей зоной выхода к стационарному значению.

Таким образом, в работе сформулированы и доказаны утверждения относительно типов стационарных волн в двухскоростной двухдавленческой смеси твердых тел (гидродинамическое приближение). Численно показана устойчивость распространения волн сжатия в смеси. Найдена аналогия конфигурации *B* газодинамического распада разрыва [11] при исследовании эволюции неустойчивой УВ разрежения в смеси. Аналитически и численно показано, что при падении УВ на стенку ее тип сохраняется.

#### ЛИТЕРАТУРА

1. Николаевский В. Н. Механика пористых и трещиноватых сред.— М.: Недра, 1984.
2. Нигматулин Р. И. Динамика многофазных сред.— М.: Наука, 1984.— Т. 1, 2.
3. Stewart H. B., Wendroff B. Two-phase flows: models and methods // J. Comp. Physics.— 1984.— V. 56, N 3.
4. Baer M. R., Nunziato J. W. A two-phase mixture theory for deflagration-to-detonation transition in reactive granular materials // Int. J. Multiphase Flow.— 1986.— V. 12, N 6.
5. Куропатенко В. Ф. Неустановившиеся течения многокомпонентных сред // Динамика многофазных сред/Под ред. В. М. Фомина.— Новосибирск: ИТИМ СО АН СССР, 1989.
6. Буряков О. В., Куропатенко В. Ф., Мустафин В. К. Ударная волна и волна разрежения в гетерогенной смеси двух конденсированных веществ // ВАНТ. Методики и программы численного решения задач математической физики.— 1989.— № 4.
7. Рув Г. А., Фомин В. М. Структура ударной волны в бинарной смеси вязких газов // ПМТФ.— 1984.— № 5.
8. Гаврилюк С. Л. Бегущие волны в неравновесной по давлению газожидкостной среде // Динамика силошной среды: Сб. науч. тр./АН СССР, Сиб. отд.-ние, Ин-т гидродинамики.— 1986.— Вып. 76.
9. Федоров А. В. Математическое описание течения смеси конденсированных материалов при высоких давлениях // Физическая газодинамика реагирующих сред/Под ред. Ю. А. Березина, А. М. Гришина.— Новосибирск: Наука, 1990.
10. Черный Г. Г. Газовая динамика.— М.: Наука, 1988.
11. Рождественский Б. Л., Яненко Н. Н. Системы квазилинейных уравнений.— М.: Наука, 1978.
12. Казаков Ю. В., Федоров А. В., Фомин В. М. Исследование структур изотермических ударных волн и расчет разлета облака газовзвесей.— Новосибирск, 1986.— (Препр./АН СССР, Сиб. отд.-ние, ИТИМ; № 8—86).
13. Казаков Ю. В., Федоров А. В., Фомин В. М. Расчет разлета сжатого объема газовзвеси // ПМТФ.— 1987.— № 5.
14. Miura H., Saito T., Glass I. I. Shock-wave reflection from a rigid wall in a dusty gas // Proc. Roy. Soc. London.— 1986.— V. A404.— P. 55.
15. Федоров А. В. Структура ударной волны в смеси двух твердых тел (гидродинамическое приближение) // Моделирование в механике.— 1991.— Т. 5(22), № 4.

г. Новосибирск

Поступила 28/I 1991 г.,  
в окончательном варианте — 19/VI 1991 г.

УДК 536.46

Г. М. Махвиладзе, В. И. Мелихов

#### ЧИСЛЕННОЕ ИССЛЕДОВАНИЕ РАСПРОСТРАНЕНИЯ И ПОГАСАНИЯ ПЛАМЕНИ В ВЕРТИКАЛЬНОМ КАНАЛЕ

Один из наиболее существенных вопросов в теории пределов горения — роль естественной конвекции в процессе погасания. Хорошо известно, что направление распространения пламени сильно влияет на концентрационные пределы горения: при распространении сверху вниз они уже, чем при движении пламени снизу вверх.

Гипотеза, объясняющая механизм гашения пламени при его распространении по сосуду от верхней стенки вниз, была выдвинута в [1]. Авторы предположили, что из-за охлаждения горячих продуктов реакции